



Московский государственный университет имени М. В. Ломоносова  
Факультет вычислительной математики и кибернетики  
Кафедра системного анализа

Отчёт по практикуму

# «Быстрое преобразование Фурье»

*Студент 315 группы*  
А. А. Пилюшенко

*Руководитель практикума*  
к.ф.-м.н., доцент П. А. Точилин

Москва, 2023

## 1 Постановка задачи

Получить аппроксимацию преобразования Фурье  $F(\lambda)$  для  $f(t)$  при помощи быстрого преобразования Фурье (БПФ), выбирая различные шаги дискретизации исходной функции и различные окна, ограничивающие область определения  $f(t)$ , область иллюстрации  $F(\lambda)$ .

## 2 Теоретические выкладки

Встроенная в систему MATLAB функция **fft** позволяет найти дискретное преобразование Фурье на отрезке  $[0, 2\pi/\Delta_t]$  функции  $f(t)$ , заданной на  $[0, T]$ , где  $T = N\Delta_t$ ,  $N$  — число отсчетов,  $\Delta_t$  — шаг дискретизации функции  $f(t)$ , при помощи быстрого преобразования Фурье. Полученная аппроксимация является периодической с периодом  $2\pi/\Delta_t$ .

Имеем функцию  $f(t)$ , заданную на отрезке  $[a, b]$ , шаг дискретизации  $\Delta_t$ . Хотим получить аппроксимацию преобразования Фурье  $F(\lambda)$  на заданном отрезке  $[c, d]$ . Пусть

$$h(t) = \begin{cases} 1, & t \in [a, b], \\ 0, & t \notin [a, b]. \end{cases}$$

Тогда преобразование Фурье  $F(\lambda)$  функции  $f(t)h(t)$  примет вид

$$\begin{aligned} F(\lambda) &= \int_{-\infty}^{+\infty} f(t)h(t)e^{-i\lambda t} dt = \int_a^b f(t)e^{-i\lambda t} dt = \\ &= \left\{ \begin{array}{l} s = t - a \\ ds = dt \end{array} \right\} = \int_0^{b-a} f(s+a)e^{-i\lambda(s+a)} ds = e^{-i\lambda a} \int_0^T g(s)e^{-i\lambda s} ds \approx \\ &\approx e^{-i\lambda a} \Delta_t \text{fft}(g(\cdot)), \end{aligned}$$

где  $g(s) \equiv f(s+a)$ ,  $T = b-a$ . Опираясь на вышеизложенное, составим алгоритм вычисления  $F(\lambda)$ :

- I. Вычислить  $G(\lambda) = \text{fft}(f(s+a))$ ,  $s \in [0, b-a]$ ,  $\lambda = 0, \Delta_\lambda, 2\Delta_\lambda, \dots, \frac{2\pi}{\Delta_t} - \Delta_\lambda$ , где  $\Delta_\lambda = 2\pi/T$ .
- II. С учётом выходного окна  $[c, d]$  достроить  $\tilde{G}(\cdot)$  по  $G(\cdot)$  с периодом  $S = 2\pi/\Delta_t$ , эффективно выделить только те точки, которые входят в это окно. Т.е.

1. Найти  $k, n$ :

$$c \in [kS, (k+1)S], \quad d \in [nS, (n+1)S].$$

2. Составить сетку

$$\begin{aligned} \Lambda &= \{\lambda_i = kS + \Delta_\lambda i, \quad i = \overline{c_k, mN + c_n}\}, \\ c_k &= \text{ceil} \frac{c - kS}{\Delta_\lambda}, \\ c_n &= \text{floor} \frac{d - nS}{\Delta_\lambda}, \end{aligned}$$

где  $n - k = m$  — число периодов между точками  $c$  и  $d$ .

3. Вычислить  $\tilde{G}(\Lambda)$  с учётом  $c_k, c_n, m$ .

III. Вычислить  $e^{-i\lambda a}$ ,  $\lambda \in \Lambda$ .

IV. Вычислить  $F(\Lambda) = e^{-i\Lambda a} \Delta_t \tilde{G}(\Lambda)$  — искомая аппроксимация на  $[c, d]$ .

В итоге, имеем массивы данных  $\Lambda, F(\Lambda)$  размера  $mN + c_n - c_k + 1$  каждый.

### 3 Вычисление вручную образа Фурье

Введём вспомогательные функции:

$$\Phi(z) = \int_0^z e^{-t^2} dt,$$

$$\operatorname{Erfc}(z) = 1 - \frac{2}{\sqrt{\pi}} \Phi(z).$$

#### 3.1 $f(t) = te^{-2|t|-t^2}$

Исследуем образ Фурье данной функции  $f(t)$  на сходимость. Рассмотрим модуль образа Фурье  $|F(\lambda)|$  данной функции  $f(t)$ :

$$|F(\lambda)| \leq \int_{-\infty}^{+\infty} |te^{-2|t|-t^2}| \underbrace{|e^{-i\lambda t}|}_{=1} dt = \int_{-\infty}^{+\infty} |t|e^{-2|t|-t^2} dt$$

в силу интегрируемости  $te^{-2|t|-t^2-i\lambda t}$ . Полученный интеграл является интегралом от чётной функции. Интегралы на полупрямых  $[0, +\infty)$ ,  $[-\infty, 0]$  совпадают. Тогда

$$\begin{aligned} \int_{-\infty}^{+\infty} |t|e^{-2|t|-t^2} dt &= \int_0^{+\infty} 2te^{-2t-t^2} dt = \left\{ \begin{array}{l} x = t^2 \\ dx = 2tdt \end{array} \right\} = \\ &= \int_0^{+\infty} e^{-2\sqrt{x}-x} dx \leq \int_0^{+\infty} e^{-x} dx = -e^{-x} \Big|_0^{+\infty} = 1. \end{aligned}$$

Значит, образ Фурье  $F(\lambda)$  сходится абсолютно  $\forall \lambda \in \mathbb{R}$ , что позволяет переходить к интегралу в смысле главного значения, пользоваться линейностью. Перейдём к вычислению образа Фурье.

$$\begin{aligned} F(\lambda) &= \int_{-\infty}^{+\infty} te^{-2|t|-t^2} e^{-i\lambda t} dt = \int_{-\infty}^{+\infty} te^{-2|t|-t^2} (\cos \lambda t - i \sin \lambda t) dt = \\ &= \int_{-\infty}^{+\infty} te^{-2|t|-t^2} \cos \lambda t dt - i \int_{-\infty}^{+\infty} te^{-2|t|-t^2} \sin \lambda t dt = \\ &= F_1(\lambda) - iF_2(\lambda). \end{aligned}$$

Рассмотрим интегралы  $F_1(\lambda)$  — интеграл от нечётной функции,  $F_2(\lambda)$  — интеграл от чётной функции:

$$\begin{aligned} F_1(\lambda) &= \int_{-\infty}^{+\infty} te^{-2|t|-t^2} \cos \lambda t dt = \lim_{R \rightarrow +\infty} \int_{-R}^R te^{-2|t|-t^2} \cos \lambda t dt = 0, \\ F_2(\lambda) &= \int_{-\infty}^{+\infty} te^{-2|t|-t^2} \sin \lambda t dt = 2 \int_0^{+\infty} te^{-2t-t^2} \sin \lambda t dt. \end{aligned}$$

Тогда

$$F(\lambda) = -iF_2(\lambda) = -2i \int_0^{+\infty} t e^{-2t-t^2} \sin \lambda t \, dt. \quad (1)$$

Воспользуемся следующим соотношением:

$$-2i \sin \lambda t = e^{-i\lambda t} - e^{i\lambda t}.$$

Тогда равенство (1) после подстановки примет вид:

$$\begin{aligned} F(\lambda) &= \int_0^{+\infty} t e^{-2t-t^2} (e^{-i\lambda t} - e^{i\lambda t}) \, dt = \\ &= \int_0^{+\infty} t e^{-2t-t^2} e^{-i\lambda t} \, dt - \int_0^{+\infty} t e^{-2t-t^2} e^{i\lambda t} \, dt = \\ &= \tilde{F}(\lambda) - \tilde{F}(-\lambda), \\ \tilde{F}(\lambda) &= \int_0^{+\infty} t e^{-2t-t^2} e^{-i\lambda t} \, dt. \end{aligned} \quad (2)$$

Осталось вычислить  $\tilde{F}(\lambda)$ .

$$\begin{aligned} \tilde{F}(\lambda) &= \int_0^{+\infty} t e^{-2t-t^2} e^{-i\lambda t} \, dt = \int_0^{+\infty} t e^{-(2+i\lambda)t-t^2} \, dt = \\ &= \left\{ \mu = 1 + i\frac{\lambda}{2} \right\} = \int_0^{+\infty} t e^{-(t+\mu)^2+\mu^2} \, dt = \\ &= \left\{ \begin{array}{l} p = t + \mu \\ dp = dt \end{array} \right\} = e^{\mu^2} \int_{\mu}^{+\infty+i\frac{\lambda}{2}} (p - \mu) e^{-p^2} \, dp = \\ &= e^{\mu^2} \int_{\mu}^{+\infty+i\frac{\lambda}{2}} p e^{-p^2} \, dp - \mu e^{\mu^2} \int_{\mu}^{+\infty+i\frac{\lambda}{2}} e^{-p^2} \, dp = \\ &= I_1(\lambda) - I_2(\lambda). \end{aligned} \quad (3)$$

Вычислим  $I_1(\lambda), I_2(\lambda)$ :

$$\begin{aligned} I_1(\lambda) &= e^{\mu^2} \int_{\mu}^{+\infty+i\frac{\lambda}{2}} p e^{-p^2} \, dp = \left\{ \begin{array}{l} s = p^2 \\ ds = 2p \, dp \end{array} \right\} = \\ &= \frac{1}{2} e^{\mu^2} \int_{\mu^2}^{+\infty+i\infty} e^{-s} \, ds = \frac{1}{2} e^{\mu^2} \left( -e^{-s} \Big|_{\mu^2}^{+\infty} \right) = \frac{1}{2}. \end{aligned} \quad (4)$$

$$\begin{aligned} I_2(\lambda) &= \mu e^{\mu^2} \int_{\mu}^{+\infty+i\frac{\lambda}{2}} e^{-p^2} \, dp = \mu e^{\mu^2} \left( \Phi(+\infty + i\frac{\lambda}{2}) - \Phi(\mu) \right) = \\ &= \mu e^{\mu^2} \left( \frac{\sqrt{\pi}}{2} - \Phi(\mu) \right) = \\ &= \left( 1 + i\frac{\lambda}{2} \right) \exp \left\{ 1 - \frac{\lambda^2}{4} + i\frac{\lambda}{2} \right\} \left( \frac{\sqrt{\pi}}{2} - \Phi(1 + i\frac{\lambda}{2}) \right). \end{aligned} \quad (5)$$

Подставим результаты вычислений (4), (5) в (3):

$$\tilde{F}(\lambda) = \frac{1}{2} - \mu e^{\mu^2} \left( \frac{\sqrt{\pi}}{2} - \Phi(\mu) \right).$$

Вспомним, что  $\mu = 1 + i\frac{\lambda}{2}$  и  $\mu^2 = 1 - \frac{\lambda^2}{4} + i\lambda$ ;  $\bar{\mu}$ ,  $\bar{\mu}^2 = \overline{\mu^2}$  — комплексно сопряженное к  $\mu$  число. Получим выражение для (1):

$$\begin{aligned} F(\lambda) &= -\mu e^{\mu^2} \left( \frac{\sqrt{\pi}}{2} - \Phi(\mu) \right) + \bar{\mu} e^{\bar{\mu}^2} \left( \frac{\sqrt{\pi}}{2} - \Phi(\bar{\mu}) \right) = \\ &= -\mu \frac{\sqrt{\pi}}{2} e^{\mu^2} \operatorname{Erfc}(\mu) + \bar{\mu} \frac{\sqrt{\pi}}{2} e^{\bar{\mu}^2} \operatorname{Erfc}(\bar{\mu}) = \\ &= \frac{\sqrt{\pi}}{2} e^{1-\frac{\lambda^2}{4}} \left( -\mu e^{i\lambda} \operatorname{Erfc}(\mu) + \bar{\mu} e^{-i\lambda} \operatorname{Erfc}(\bar{\mu}) \right) \\ &= \frac{\sqrt{\pi}}{2} e^{1-\frac{\lambda^2}{4}} \left( \left(1 - i\frac{\lambda}{2}\right) e^{-i\lambda} \operatorname{Erfc}\left(1 - i\frac{\lambda}{2}\right) - \left(1 + i\frac{\lambda}{2}\right) e^{i\lambda} \operatorname{Erfc}\left(1 + i\frac{\lambda}{2}\right) \right). \end{aligned} \quad (6)$$

Итоговый результат, (6):

$$F(\lambda) = \frac{\sqrt{\pi}}{2} e^{1-\frac{\lambda^2}{4}} \left( \left(1 - i\frac{\lambda}{2}\right) e^{-i\lambda} \operatorname{Erfc}\left(1 - i\frac{\lambda}{2}\right) - \left(1 + i\frac{\lambda}{2}\right) e^{i\lambda} \operatorname{Erfc}\left(1 + i\frac{\lambda}{2}\right) \right).$$

### 3.2 $f(t) = \operatorname{arctg} 3t - \operatorname{arctg} 2t$

Рассмотрим образ Фурье данной функции  $f(t)$  — нечётная функция. Значит, образ Фурье имеет нулевую вещественную часть  $\forall \lambda \neq 0$ .

$$\begin{aligned} F(\lambda) &= \int_{-\infty}^{+\infty} (\operatorname{arctg} 3t - \operatorname{arctg} 2t) e^{-i\lambda t} dt = \\ &= \underbrace{\int_{-\infty}^{+\infty} (\operatorname{arctg} 3t - \operatorname{arctg} 2t) \cos \lambda t dt}_{=0} - i \int_{-\infty}^{+\infty} (\operatorname{arctg} 3t - \operatorname{arctg} 2t) \sin \lambda t dt = \\ &= -i \int_{-\infty}^{+\infty} (\operatorname{arctg} 3t - \operatorname{arctg} 2t) \sin \lambda t dt. \end{aligned}$$

Проинтегрируем по частям: пусть  $u = \operatorname{arctg} 3t - \operatorname{arctg} 2t$ ,  $v' = \sin \lambda t$ . Тогда

$$F(\lambda) = \left( i(\operatorname{arctg} 3t - \operatorname{arctg} 2t) \frac{\cos \lambda t}{\lambda} \right) \Big|_{-\infty}^{+\infty} - i \int_{-\infty}^{+\infty} \left( \frac{3}{1+9t^2} - \frac{2}{1+4t^2} \right) \frac{\cos \lambda t}{\lambda} dt. \quad (7)$$

Вычислим необходимые значения:

$$\lim_{t \rightarrow \pm\infty} (\operatorname{arctg} 3t - \operatorname{arctg} 2t) \frac{\cos \lambda t}{\lambda} = 0, \quad (8)$$

$$\left( \frac{3}{1+9t^2} - \frac{2}{1+4t^2} \right) = \frac{3+12t^2-2-18t^2}{(1+9t^2)(1+4t^2)} = \frac{1-6t^2}{(1+9t^2)(1+4t^2)} \stackrel{\text{def}}{=} g(t). \quad (9)$$

Подставим (8), (9) в (7). Тогда

$$F(\lambda) = -\frac{i}{\lambda} \int_{-\infty}^{+\infty} g(t) \cos \lambda t dt = -\frac{i}{\lambda} 2\pi \operatorname{Re} \left\{ i \sum_k \operatorname{res} \left[ g(t) e^{i\lambda t}, t_k \right] \right\}, \quad (10)$$

согласно теории вычетов функции комплексного аргумента. Отметим, что суммирование идёт по тем изолированным особым точкам, которые при  $\lambda > 0$  принадлежат  $\text{Im } t > 0$ , при  $\lambda < 0$  принадлежат  $\text{Im } t < 0$ . Исследуем особенности функции  $g(t)e^{i\lambda t}$  на комплексной плоскости.

$$g(t)e^{i\lambda t} = \frac{(1 - 6t^2)e^{i\lambda t}}{(1 + 9t^2)(1 + 4t^2)} = \frac{(1 - 6t^2)e^{i\lambda t}}{36(t + i/3)(t - i/3)(t + i/2)(t - i/2)}.$$

Точки  $t_1 = -i/3$ ,  $t_2 = i/3$ ,  $t_3 = -i/2$ ,  $t_4 = i/2$  являются полюсами 1-го порядка. Вычислим вычеты в данных точках.

$$\begin{aligned} \text{res}[g(t)e^{i\lambda t}, t_1] &= \frac{(1 + 2/3)e^{-\lambda/3}}{36(-2i/3)(i/6)(-5i/6)} = -\frac{e^{-\lambda/3}}{2i}, \\ \text{res}[g(t)e^{i\lambda t}, t_2] &= \frac{(1 + 2/3)e^{\lambda/3}}{36(2i/3)(5i/6)(-i/6)} = \frac{e^{\lambda/3}}{2i}, \\ \text{res}[g(t)e^{i\lambda t}, t_3] &= \frac{(1 + 3/2)e^{-\lambda/2}}{36(-i/6)(-5i/6)(-i)} = \frac{e^{-\lambda/2}}{2i}, \\ \text{res}[g(t)e^{i\lambda t}, t_4] &= \frac{(1 + 3/2)e^{\lambda/2}}{36(5i/6)(i/6)(i)} = -\frac{e^{\lambda/2}}{2i}. \end{aligned}$$

Подставим вычисленные значения в (10):

$$F(\lambda) = \begin{cases} -\frac{\pi i}{\lambda}(e^{\lambda/3} - e^{\lambda/2}), & \lambda < 0, \\ -\frac{\pi i}{\lambda}(-e^{-\lambda/3} + e^{-\lambda/2}), & \lambda > 0. \end{cases}$$

Итоговый результат:

$$F(\lambda) = \frac{\pi i}{|\lambda|}(e^{|\lambda|/2} - e^{|\lambda|/3}).$$

## 4 Иллюстрация возникающих эффектов

### 4.1 Наложение спектра

Рассмотрим функцию  $f(t) = te^{-2|t|-t^2}$ . Продемонстрируем эффект наложения спектра, возникающий при досточном большом шаге дискретизации  $\Delta_t$ . Устранить этот эффект можно посредством уменьшения  $\Delta_t$ . Для сравнения с периодом  $2\pi/\Delta_t$  нарисуем ранее вычисленное преобразование Фурье.

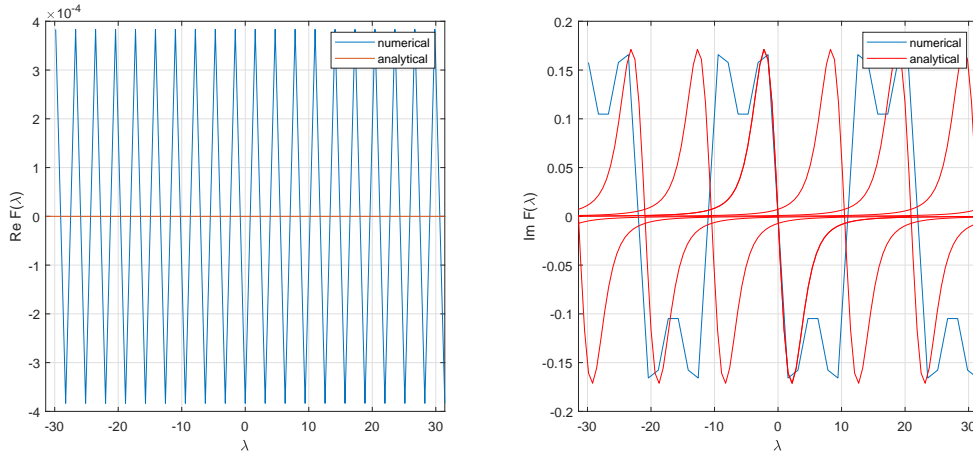


Рис. 1: Результат работы программы  $\Delta_t = 0.6$ ,  $[a, b] = [-2, 2]$ ,  $[c, d] = [-3S, 3S]$ ,  $S = \frac{2\pi}{\Delta_t}$ .

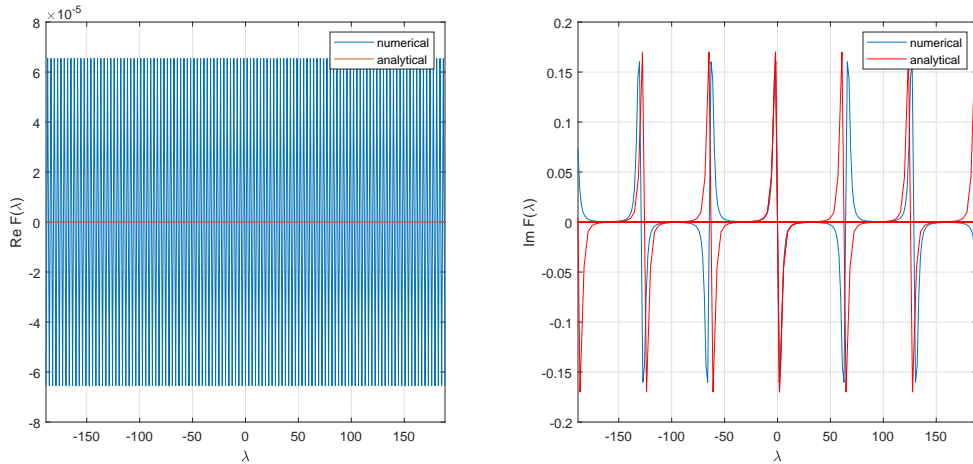


Рис. 2: Результат работы программы  $\Delta_t = 0.1$ ,  $[a, b] = [-2, 2]$ ,  $[c, d] = [-3S, 3S]$ ,  $S = \frac{2\pi}{\Delta_t}$ .

## 4.2 Появление ряби

Рассмотрим функцию  $f(t) = \arctg 3t - \arctg 2t$ . Её спектр принимает чисто мнимые значения и разрывен в нуле, поэтому при  $\lambda = 0$  появляется рябь. При изменении параметров рябь устранить невозможно.

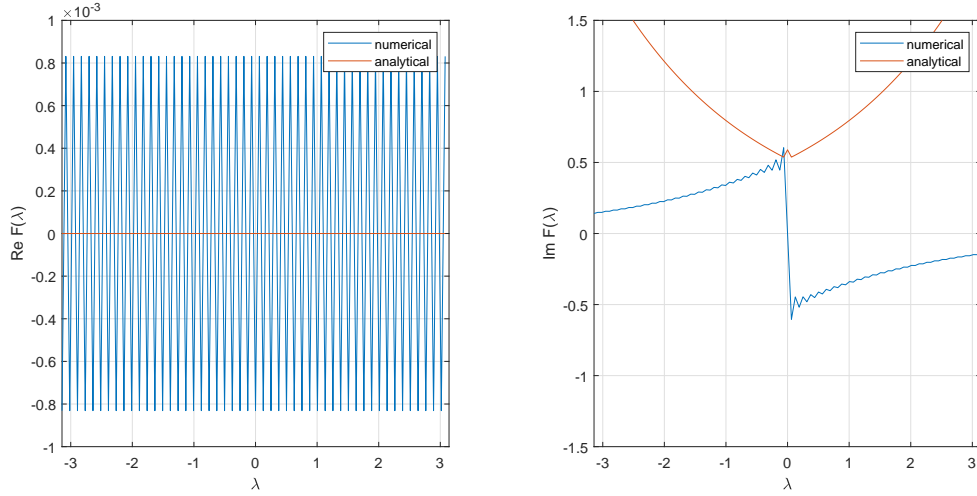


Рис. 3: Результат работы программы  $\Delta_t = \frac{1}{4}$ ,  $[a, b] = [-50, 50]$ ,  $[c, d] = [-\frac{\pi}{4\Delta_t}, \frac{\pi}{4\Delta_t}]$ .

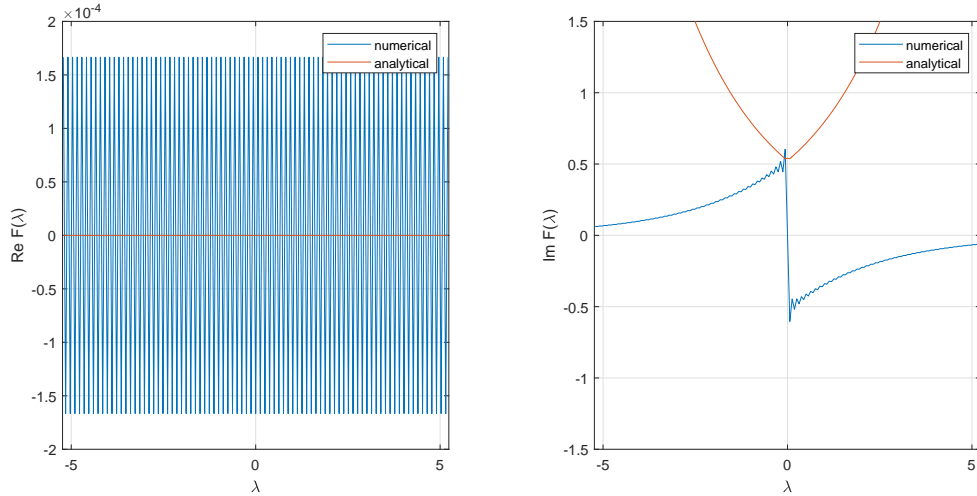


Рис. 4: Результат работы программы  $\Delta_t = \frac{1}{20}$ ,  $[a, b] = [-50, 50]$ ,  $[c, d] = [-\frac{\pi}{12\Delta_t}, \frac{\pi}{12\Delta_t}]$ .

## Список литературы

- [1] Свешников А. Г., Тихонов А. Н. Теория функций комплексной переменной, 6-е изд. ФИЗМАТЛИТ, 2005. — с. 135–142.